

Research Paper



Flood Management Map Using New Random Forest Algorithm and Geographic Information System Case Study: Kandovan-Chalus Axis



Mousa Abedini¹, Mahrokh Sardashti²

1. Professor of Geomorphology, Department of Physical Geography, University of Mohaghegh Ardabili, Ardabil, Iran. abedini@uma.ac.ir
 2. Phd. student of Geomorphology, Department of Physical Geography, University of Mohaghegh Ardabili, Ardabil, Iran. geo.sardashti@gmail.com

Keywords
Random Forest, Algorithm, Precipitation, Flood, Slope, Land Use, Kandovan-Chalus Axis.
Received: 2024/09/19
Accepted: 2025/01/25
Published: 2024/07/21

A B S T R A C T

Introduction

In recent years, the Kandovan-Chalus axis in the north of the country (in Mazandaran province) has experienced numerous dangerous floods. The research area is located in the southwestern part of Mazandaran Province at geographical coordinates 36°15' to 36°45' north latitude and 51°30' to 51°45' east longitude. Geological and topographic features, rainfall conditions, and human intervention have made the Kandovan-Chalus axis in Chalus County in Mazandaran Province susceptible to potential flood risk. In addition to the role of natural factors, lack of dredging, lack of proper watershed management, and unprincipled human intervention have led to an intensification of flood hazards in the study area. Reviewing and preparing flood management maps, relying on expert principles, is considered one of the basic requirements in flood crisis management in this region. The aim of this research is to zone flood-prone areas and determine the priority of factors affecting their occurrence using the random forest algorithm in the Kandovan-Chalus axis. For this purpose, 9 land use indicators were selected: distance from the river, slope, height, failure to observe the river boundary, river discharge, waterway network, rainfall, and lack of river dredging. After determining the variance inflation factor and tolerance coefficient, in the next stage, modeling was carried out by entering the data related to the effective factors into the ARC/MAP10.2 software. Then, the random forest algorithm was used to determine the role of the effective factors in the occurrence of floods in the region. Finally, a flood risk zoning map was prepared in three very dangerous, medium-risk, and low-risk zones in the ARC/MAP10.2 environment. The results show that based on the flood potential map, the risk of flooding in the region is about 261.43 square kilometers of the region, 151.1 square kilometers of the region are considered low-risk areas, 118.3 square kilometers of the region are considered medium-risk areas, and about 118.3 square kilometers.

*Corresponding Author: Mousa Abedini, E-mail: abedini@uma.ac.ir

How to cite this article: Abedini, Mousa., Sardashti, Mahrokh. (2025). Flood Management Map Using New Random Forest Algorithm and Geographic Information System Case Study: Kandovan-Chalus Axis. Hydrogeomorphology, 12(43): 17–33.

DOI: [10.22034/hyd.2025.63601.1758](https://doi.org/10.22034/hyd.2025.63601.1758)



Copyright: © by the authors

Publisher: University of Tabriz

Methodology

The main purpose of the research is to determine the priority of the factors affecting the occurrence of floods on the Karaj-Chalus road from Kandavan to Chalus axis, therefore, the studied factors, methods, techniques and research tools have been selected as follows. (a) Selection of effective indicators and preparation of their digital layers: In this stage, according to the studies and background of the research, 9 indicators of land use, distance from the river, slope, elevation, non-observance of river boundaries, river discharge, stream power, precipitation, and lack of river dredging were selected. River layer, slope and elevation were prepared from a 1:100,000 topographic map. Results and Discussion After the production of the digital layer of the region, and the precipitation layer has been used from the precipitation statistics of Nowshahr and Siah Bisheh stations. (b) Prioritization of factors affecting flood occurrence: After determining the factor of inflation variance and tolerance coefficient, in the next step, by entering the data related to the effective factors into R software, modeling was done using random forest algorithm and the role of factors affecting flooding in the region was determined.

At first, in order to check the collinearity between the variables, two indicators of the variance inflation factor and the tolerance coefficient were used. In the next step, by entering the data related to the effective factors into the R software, modeling was done using the random forest algorithm and the role of the effective factors in the occurrence of floods was determined. For this purpose, two factors of the average reduction of accuracy and the average reduction of Gini have been used to determine the priority of each of the effective factors in the occurrence of floods. In order to evaluate the prepared model, the relative performance detection curve (ROC) was used. After determining the weight of each factor in the R software environment, these weights were transferred to the ARC/MAP 10.2 environment and applied to the desired layers. According to the flood susceptibility map of the region, about 261.43 square kilometers of the region are low risk areas, 151.1 square kilometers are considered to be medium risk areas and about 118.3 square kilometers are high risk areas.

Conclusions

This research is aimed at determining the priority of the effective factors in the occurrence of floods using the new random forest algorithm for the purpose of flood management. Within the scope of the case, the survey results showed that the geological and topographical features, the actions and implementation of humans, have predisposed the Kandavan-Chalus axis to the flood risk potential. In addition to the natural factors of lack of dredging, the lack of proper watershed management and human occupation have aggravated the dangers of floods.

پژوهشگاه علوم انسانی و مطالعات فرهنگی
پرستال جامع علوم انسانی



تهیه نقشه مدیریت سیلاب با استفاده از الگوریتم نوین جنگل تصادفی و سیستم اطلاعات جغرافیایی، نمونه موردی: محور کندوان - چالوس



موسی عابدینی^{۱*}، ماهرخ سردشتی^۲

۱- استاد گروه زئومورفولوژی، گروه جغرافیا، دانشکده علوم اجتماعی، دانشگاه محقق اردبیلی، اردبیل، ایران. abedini@uma.ac.ir

۲- دانشجوی دکتری زئومورفولوژی، گروه جغرافیا، دانشکده علوم اجتماعی دانشگاه محقق اردبیلی، اردبیل، ایران. geo.sardashti@gmail.com

چکیده

در طی سال‌های اخیر محور کندوان - چالوس در شمال کشور (در استان مازندران) سیلاب‌های متعدد مخاطره‌آمیز رخ داده است. منطقه مورد تحقیق در مختصات جغرافیائی ۳۶°۳۰'N و ۱۵۰°۴۵'E درجه و ۴۵°۰۱'W عرض شمالی و ۵۱°۵۱'E طول شرقی، در بخش جنوب غرب استان مازندران قرار دارد. ویژگی‌های زمین‌شناسی و توپوگرافی، شرایط بارندگی و دخلالت انسان‌ها، محور کندوان - چالوس در شهرستان چالوس در استان مازندران را برای پتانسیل خطر وقوع سیل مستعد کرده است. علاوه بر نقش عوامل طبیعی؛ عدم لایروبی، نبود آبخیزداری مناسب و دخلالت‌های غیر اصولی انسانی منجر به تشدید مخاطرات سیلاب در منطقه مورد تحقیق شده است. بررسی و تهیه نقشه‌های مدیریت سیلاب، با تکیه بر اصول کارشناسی یکی از ضروریات اساسی در مدیریت بحران سیل این منطقه محسوب می‌باشد. هدف از این پژوهش، پنهان‌بندی مناطق مستعد سیل و تعیین اولویت عوامل مؤثر در وقوع آن با استفاده از الگوریتم جنگل تصادفی در محور کندوان چالوس است. بدین منظور ۹ شاخص کاربری اراضی، فاصله از رودخانه، شبیه، ارتفاع، عدم رعایت حریم رودخانه، دبی رودخانه، شبکه آبراهه، بارش، و عدم لایروبی رودخانه انتخاب شدند. پس از تعیین عامل تورم واریانس و ضریب تحمل، در مرحله بعد با وارد کردن داده‌های مربوط به عوامل مؤثر به نرم‌افزار ARC/MAP10.2، مدل‌سازی گردید. سپس با استفاده از الگوریتم جنگل تصادفی انجام و نقش عوامل مؤثر در وقوع سیلاب در منطقه تعیین شد. در نهایت نقشه پنهان‌بندی خطر وقوع سیلاب در سه پنهان خیلی خطرناک، با خطر متوسط و کم خطر در محیط ARC/MAP10.2 تهیه شد. نتایج نشان می‌دهد بر اساس نقشه پتانسیل وقوع سیل، خطر وقوع سیلاب منطقه در حدود ۲۶۱/۴۳ کیلومترمربع منطقه جزء مناطق کم خطر ۱۵۱/۱ کیلومترمربع جزء مناطق با خطر متوسط و در حدود ۱۱۸/۳ کیلومترمربع جزء مناطق پر خطر محسوب می‌شوند.

کلیدواژه‌ها

الگوریتم جنگل تصادفی،
بارش، سیلاب، شبیه، کاربری
اراضی. محور کندوان- چالوس

تاریخ دریافت: ۱۴۰۳/۰۶/۲۹

تاریخ پذیرش: ۱۴۰۳/۱۱/۰۶

تاریخ انتشار: ۱۴۰۴/۰۴/۳۰

ارجاع به این مقاله: عابدینی، موسی؛ سردشتی، ماهرخ؛ تهیه نقشه مدیریت سیلاب با استفاده از الگوریتم نوین جنگل تصادفی و سیستم اطلاعات جغرافیایی (نمونه موردی: محور کندوان - چالوس). هیدرورژئومورفولوژی، ۱۲ (۴۳): ۳۳-۷۱.

*نویسنده مسئول: موسی عابدینی
رایانه‌ای: abedini@uma.ac.ir

شناسه دیجیتال: 10.22034/hyd.2025.63601.1758



Copyright: ©2025 by the authors

Publisher: University of Tabriz

مقدمه

یکی از بزرگترین و رایج‌ترین اشکال مخاطرات طبیعی سیلاب می‌باشد و شناخت نواحی مستعد وقوع سیلاب، از اقدامات اساسی در مدیریت منابع طبیعی و برنامه‌ریزی توسعه‌ای محسوب می‌شود (عبدیینی و همکاران، ۱۴۰۲:۲۰-۲۳). در واقع سیلاب‌ها یکی از مخاطرات محیطی و عوامل تأثیرگذار در جوامع بشری بوده و از بلایای عمدۀ و مهم جهانی محسوب می‌شوند (موگاگ و همکاران^۱، ۱۴۰۲:۲۰). در بین بلایای طبیعی، سیل، زلزله و خشکسالی به لحاظ خسارت مالی و جانی ناشی از وقوع آن‌ها، از اهمیت ویژه‌ای برخوردار می‌باشند. به استناد آمار و اطلاعات موجود، خسارات ناشی از سیل در پاره‌ای از نقاط دنیا به‌ویژه در آسیا و آقیانوسیه، بیشترین میزان را در بین خسارات حاصل از بلایای طبیعی به خود اختصاص داده است. رشد جمعیت، توسعه شهرنشینی و تغییر کاربری اراضی در دهه‌های اخیر موجب شده است تا سیلاب به عنوان یکی از مخرب‌ترین بلایای طبیعی در جهان شناخته شود (بهشتی و همکاران، ۱۴۰۹:۲۰-۲۱). رودخانه‌ها یک سیستم فرایند واکنش پیچیده هستند که اجزای مختلف آن‌ها با هم در ارتباط بوده و تغییر در هر یک از اجزاء، واکنش رود را برای رسیدن به تعادل به همراه دارد. مهم‌ترین اجزاء کanal رود در مقیاس بازه شامل شبکه‌است، عرض و عمق کanal رود، اندازه ذرات رسوبی و پالن رود هستند؛ لذا تغییر در هر یک از این عناصر چه به صورت طبیعی (سیلاب‌ها) و چه به صورت دخالت‌های انسانی می‌تواند با واکنش همراه باشد. دخالت‌های انسانی به دو صورت مستقیم و غیرمستقیم رودخانه‌ها را تحت تأثیر قرار میدهد. دخالت‌های مستقیم به صورت احداث پله‌ها، دیواره‌های حفاظتی، کanal‌سازی، سدسازی، برداشت شن و ماسه و... در رودخانه‌ها است که می‌تواند مورفولوژی رودها را به صورت مستقیم تغییر دهد (اسماعیلی و همکاران، ۱۴۰۴:۲۰-۲۴). در واقع سیلاب‌ها یکی از پدیده‌های طبیعی هستند که علل مختلف و طبیعی و انسانی دارند و در صورت عدم مدیریت صحیح می‌توانند خسارات زیادی به زیرساخت‌ها، مزارع و محیط زیست وارد کنند. این پدیده به طور عمدۀ به دلیل بارش‌های سنگین، همزمانی ذوب برف‌ها و بارندگی (خصوصاً در اراضی عمده‌تا با شبکه‌است، فاقد پوشش‌گیاهی یا با پوشش‌گیاهی ضعیف، با نفوذپذیری کم، تحت تأثیر سیتماتیک عوامل متنوعی رخ می‌دهد) (عبدیینی و همکاران، ۱۴۰۴:۴۸). تخمین پهنه‌بندي سیل از نظر مدیریت و تعیین پهنه و خسارات سیل بسیار مهم است. سنجه از دور و استفاده از تصاویر با دقیق‌ترین در استخراج شاخص‌های تخمین گر پهنه سیل مؤثر باشد (کاکلوند و همکاران، ۱۴۰۴:۲۰-۲۱). وجود سیل و خسارات ناشی از آن در ایران، طی سال‌های اخیر روند افزایشی داشته است، حال آن‌که به آن توجه زیادی نشده است. طبق مطالعاتی که روی سیلاب‌ها و خسارات ناشی از سیل در ایران بین چهار دهه از سال ۱۳۳۰ تا ۱۴۰۰ صورت گرفته است، در طی ۷۰ سال، ۲۱۳۴ سیل مخرب و ویرانگر در کشور رخ داده و تعداد رخداد این سیلاب‌ها از سال ۱۳۳۰ تا سال ۱۴۰۰ بیشتر شده است. برخی از علل آن، تغییر کاربری و کاهش نفوذ در اثر افزایش جمعیت و به دنبال آن، افزایش اقدامات توسعه و عمرانی است (خدایی و زندی، ۱۴۰۲:۵۵). اولین قدم در مطالعات اقتصادی طرح‌های مدیریت سیلاب و یا مهار سیلاب، داشتن نقشه‌های پهنه‌بندي سیل است. زیرا با توجه به پهنه سیل در دوره‌های بازگشت مختلف و برآورد خسارت سیل در هر پهنه‌بندي، میزان سرمایه‌گذاری جهت جلوگیری از خسارت در هر حالت بینه محسوبه خواهد شد (ولی زاده، ۱۴۰۷:۲۰۰-۲۱۰). هدف از پهنه‌بندي خطر سیل، دستیابی به سطح خطرآن، در مقیاس مکانی بر اساس ویژگی‌های طبیعی یا اجتماعی که می‌توان به ترتیب توسط عوامل خطر و آسیب‌پذیری اندازه‌گیری شوند (Milanesi^۲ و همکاران، ۱۴۰۵:۲۰-۱۸). از این رو تبیین الگوهایی مبتنی بر آمار و اطلاعات مشاهده‌ای و منطبق با شرایط منطقه، برای برآورد خصوصیاتی نظری پهنه‌سیلاب رودخانه‌ای را می‌توان گامی مثبت در جهت برنامه‌ریزی درست برای مدیریت منابع آب و مواجهه با بحران‌هایی نظیر سیل و سیلاب‌های مخرب به شمار آورد. تهیه نقشه‌های سیلاب یکی از گام‌های مدیریت جامع سیل می‌باشد. نقشه‌های خطر^۳ و خطرپذیری^۴ سیل از انواع نقشه‌های سیل هستند که اطلاعات سیلاب در یک منطقه را به صورت نقشه‌های گویا و کاربردی در اختیار برنامه‌ریزان و ذی‌نفعان قرار می‌دهد. در حقیقت مدیریت سیل و شرایط بحرانی ناشی از آن بدون در اختیار داشتن نقشه‌های سیلاب امکان‌ذیر نیست.

1 - Mugagga et al

2- Milanesi et al

3- Flood Hazard Map

4 -Flood Risk Map

باتوجه به رژیم بارشی کشور، همه ساله در فصل بهار و پاییز با بارش‌های رگباری و مسئله ذوب برف‌های حاصل از بارش‌های زمستانه با وجود سیل و پیامدهای ناگوار آن در کشور رخ می‌دهد؛ لذا از طریق تجزیه و تحلیل دقیق این مناطق سیل خیز و مدیریت اصولی، می‌توان از میزان وقوع سیل و خسارات مالی و جانی ناشی از آن را کاهش داد. با عنایت به مراتب فوق، مدل‌سازی رفتار سیل و تهیه نقشه‌های پتانسیل وقوع سیلاب یکی از مهم‌ترین اهداف متخصصین در زمینه بلایای طبیعی می‌باشد (فینیسا^۱ و همکاران، ۲۰۱۴: ۲۴۵۱).

بنابراین، تعیین مناطق مستعد سیل برای کاهش ویرانی و تخریب بیشتر ضروری است. علاوه بر این، ادغام سیستم اطلاعات جغرافیایی (GIS) با مدل‌سازی سیل، بازنمایی فضایی سیل‌ها را در فواصل زمانی مختلف بازگشت بهبود داده است، همانطور که در تحقیق انجام شده توسط رفس^۲ نمونه‌ای از آن است علاوه بر این، استفاده از فناوری پیشرفته GIS^۳ امکان ارزیابی سریع خطرات سیل را در مناطق جغرافیایی خاص فراهم می‌کند توجه به این نکته مهم است که دقت داده‌های ورودی و ادغام روش‌های GIS با یادگیری ماشین و روش‌های آماری به طور قابل توجهی بر اثربخشی پردازش GIS تأثیر می‌گذارد. این روش‌ها شامل شاخص‌های آماری، نسبت‌های فرکانس، آنتروپی شانون، مدل‌های خطی تعمیم‌یافته، رگرسیون لجستیک، وزن شواهد، تحلیل تفکیک‌کننده چند متغیره، عوامل وزن‌دهی، تحلیل تفکیک‌پذیر انعطاف‌پذیر، مدل‌های افزایشی تعمیم‌یافته، رگرسیون لجستیک چند متغیره و سایر رویکردهای آماری چند متغیره است. علاوه بر این، شایان ذکر است که اخیراً برخی از مطالعات از روش‌های یادگیری ماشینی برای پیش‌بینی سیل ناگهانی با استفاده از عوامل محیطی مختلف استفاده کرده‌اند. این مطالعات از ترکیب سیستم اطلاعات جغرافیایی (GIS) و هوش مصنوعی برای تعیین حساسیت به سیل ناگهانی استفاده کرده‌اند. به همین ترتیب، روش‌های یادگیری ماشین، از جمله ماشین‌های بردار پشتیبان (SVM^۴)، شبکه‌های عصبی مصنوعی (ANN^۵)، درخت‌های طبقه‌بندی و رگرسیون (CART^۶)، و جنگل تصادفی (RF^۷)، توسط محققان متعددی برای تهیه نقشه‌های حساسیت وقوع سیل به کار گرفته شده است (عبدالکریم و همکاران، ۲۰۲۰: ۱۸۸۷). تحقیقات متنوعی در زمینه بررسی و پنهان‌بندی خطر سیل با به کار گیری مدل‌های مختلف در ایران و جهان صورت گرفته است که در ادامه به برخی از آن‌ها اشاره می‌شود. از مدل هیدرودینامیکی HEC-RAS به منظور بررسی سیلاب‌های رودخانه قره سو در محدوده رودخانه اهرچای استفاده گردید که نتایج نشان داد که با رخداد سیلابی با دوره بازگشت ۲۵ سال، مساحتی در حدود ۱۰۸۵ هکتار از اراضی کشاورزی و باغ‌های حواشی رودخانه قره سو به زیر آب خواهد رفت و خسارتی را برای کشاورزان منطقه به وجود خواهد آورد (رضایی مقدم و همکاران، ۲۰۱۸: ۱۵-۲۰). برای تهیه نقشه احتمال خطر سیل در حوضه کمیجان استان مرکزی از مدل‌های داده کاوی شامل جنگل تصادفی (Random Forest) و ماشین گرادیان تقویتی (Gradient Boosting Machine) استفاده گردید. نتایج نشان داد که مدل RF بهترین مدل در تهیه نقشه حساسیت به وقوع سیل می‌باشد (آوندو همکاران، ۲۰۱۸، ۳۲: ۱-۱۰). پیش‌بینی مناطق مستعد وقوع سیلاب با استفاده از مدل‌های پیشرفته یادگیری ماشین در دشت بیرون‌جند انجام شد. به این منظور از چهار مدل یادگیری ماشین شامل ماشین بردار پشتیبان، درخت تصمیم J48، جنگل تصادفی (RF) و سیستم استنتاج عصبی فازی (ANFIS) استفاده گردید. نتایج نشان داد که بالاترین دقت مربوط به مدل SVM می‌باشد (اسلامی نژاد و همکاران، ۲۰۲۱: ۴۳). در تحقیقی به تعیین پتانسیل سیل با استفاده از مدل‌های یادگیری ماشین CART, GLM, GAM در حوضه کشکان پرداخته شد. در این پژوهش با استفاده از مدل‌های یادگیری ماشین و عوامل محیطی، نقشه‌های پیش‌بینی پتانسیل سیل تهیه شد و سپس با استفاده از روش‌های منحنی مشخصه AUC و شاخص TSS اعتبار سنجی شدن‌و نتایج نشان دهنده دقت عالی مدل‌های فوق الذکر برای حوضه مورد مطالعه می‌باشد و همچنین این مدل‌ها مساحت بیشتری از حوضه را که تحت پتانسیل بالا و متوسط خطر

1- Fenicia

2 -Rafs

3- Geographic Information System

4 -Support Vector Machine

5 -Artificial Neural Networks

6 -Classification and Regression Tree

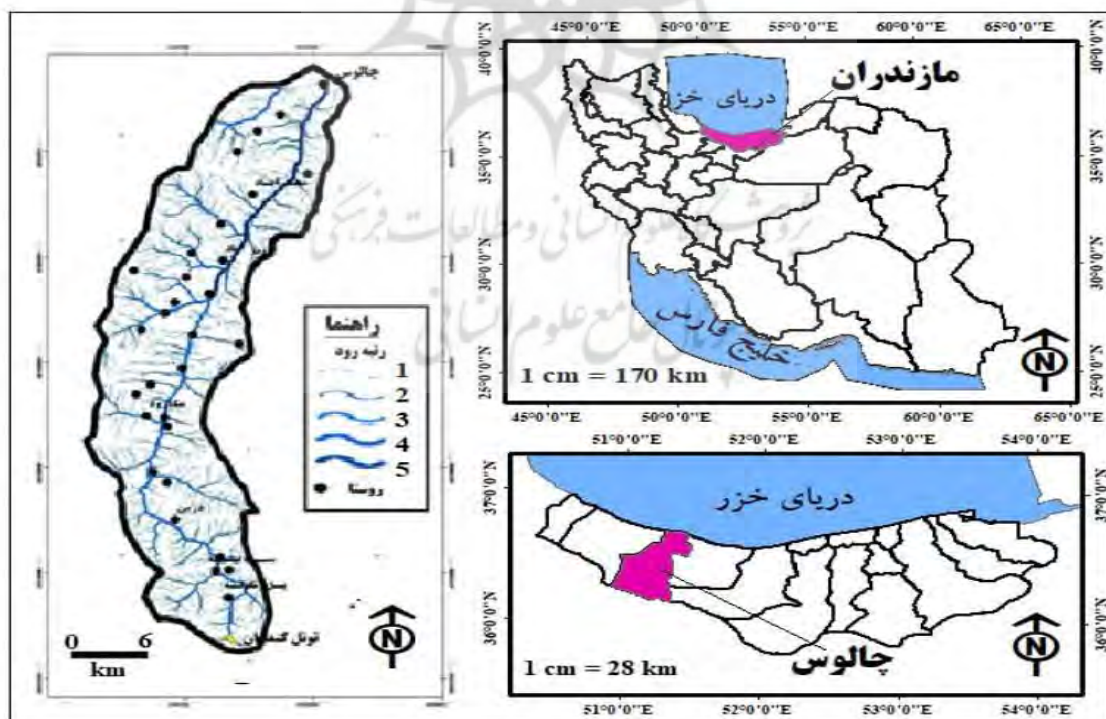
7 -Random Forest

سیل گیری است نشان می دهد(یوسفی و همکاران، ۲۰۲۱: ۸۴). مدل سازی و پیش بینی خطر سیل در شهر بندری نوشهر، با استفاده از مدل های یادگیری ماشین انجام شد. برای پنهانه بندی خطر سیل از مدل های یادگیری ماشین، درخت تصمیم گیری، k نزدیکترین همسایه، یادگیری تجمعی و WLC استفاده شد. برای انجام صحت سنجی مدل ها و انتخاب بهترین مدل نیز از روش ROC برآسانس دو معیار ارزیابی صحت و سطح زیر نمودار در خصوص بحران سیل استفاده گردید. نتایج نشان داد که مدل یادگیری تجمعی با صحت ۰/۶۱ و سطح نمودار ۹۰٪ بهترین و مدل WLC با صحت ۰/۶۲ و سطح نمودار ۰/۶۱ ضعیفترین مدل پیش بینی خطر سیل در شهر نوشهر است (کاظمی و همکاران، ۲۰۲۲: ۷۱). به منظور پنهانه بندی خطر سیلاب در حوضه آبخیز رضی چای از مدل ویکور استفاده گردید که نتایج نشان داد که از بین عوامل مؤثر در ایجاد سیلاب، عامل شیب با ضریب وزنی ۰/۱۸، عامل ارتفاع با ضریب وزنی ۰/۱۷ و کاربری اراضی با ضریب وزنی ۰/۱۳ به ترتیب مهم ترین عوامل ایجاد سیلاب در حوضه آبخیز رضی چای هستند. به علاوه، به ترتیب ۱۵/۴۹ و ۱۶/۴۷ درصد از مساحت حوضه، در طبقه بسیار پر خطر قرار دارد که نشانگر پتانسیل بالای این حوضه برای وقوع سیلاب می باشد(عبدالینی و همکاران، ۲۰۲۲: ۱۸۶). در پژوهشی سیلاب با استفاده از الگوریتم های یادگیری ماشین از جمله جنگل تصادفی (RF) و مبتنی بر هیستوگرام درخت تصمیم تقویت گرادیان، همراه با دو الگوریتم فرا ابتکاری و تصاویر ماهواره ای سنتینل یک مورد بررسی قرار گرفت. در نهایت، چهار مدل ردیابی سیل مجموعه RF-ACO، RF-HHO و HGBDT-HHO و HGBDT-ACO پیاده سازی شدند و دقت کلی این مدل هادر مرحله اعتبار سنجی به بیش از ۹۵ درصد رسید. به طور کلی مدل های HGBDT نسبت به مدل های RF مزیت نسبی نشان دادند و از نظر پیچیدگی محاسباتی نیز عملکرد بهتری داشتند(عبدالینی و همکاران، ۲۰۲۴: ۳۵). ادغام مدل های یادگیری ماشین برای ارزیابی خطر سیل و تعیین مکانسیم بالقوه بین ریسک و عوامل محرک برای بهبود مدیریت سیل تاکید گردید و از شش مدل یادگیری ماشین برای ارزیابی خطر سیل استفاده شد. پس از تعیین مدل بهینه، عوامل متحرک سطوح مختلف خطر سیل را بررسی نمودند. نتایج نشان داد که ارتفاع، بارش حداکثر یک روزه و تراکم جاده سه عامل مهم محرکه هستند و ۵۲ درصد در خطر سیل منطقه نقش موثری داشتند(چن و همکاران، ۲۰۲۰: ۱۳۵). در پژوهشی اقدام به تهیه نقشه حساسیت سیل با استفاده از الگوریتم شبکه عصبی حلقوی گردید. برای این کار، ۱۳ عامل موثر در سیل تاریخی در منطقه شهر شانگیو بررسی و با استفاده از روش های مبتنی بر چندین معیار هدف با روش ماشین بردار پشتیبان (SVM) ارزیابی شده است. نتایج نشان داد که کلیه روش های مبتنی بر CNN می توانند نقشه حساسیت سیل دقیق تری را تولید نمایند. بنابراین، الگوریتم پیشنهادی CNN می تواند به کاهش و مدیریت سیل کمک کند(وانگ و همکاران، ۲۰۲۲: ۲۰۲۰). تحقیقی در مورد تهیه نقشه حساسیت سیل پذیری در منطقه ایالات متحده آمریکا با بکارگیری مدل های یادگیری ماشین و سیستم اطلاعات جغرافیایی (GIS)، انجام شده است. در این تحقیق از الگوریتم های یادگیری شامل رگرسیون لجستیک (LR)، جنگل تصادفی (RF)، ماشین بردار پشتیبان (SVM)، نزدیکترین همسایه (KNN)، تقویت تطبیقی (Ada Boost) و افزایش گرادیان شدید (XGB) استفاده گردید. نتایج تحقیق نشان داده که مدل های (XGB) و (RF) نسبت به مدل های دیگر با دقت بین ۰/۹۷ تا ۰/۸۲ نسبتاً خوب هستند. لذا این مدل ها می توانند به منظور تهیه نقشه های شناسایی مناطق مستعد سیل مورد استفاده قرار گیرد(دمیسی و همکاران، ۲۰۲۴: ۱۰۰-۱۸۳). محور کندوان - چالوس در شمال کشور در استان مازندران در شهرستان چالوس واقع شده است. در طی سال های اخیر از جمله خرداد ۱۴۰۳ این شهرستان با سیلاب های ناگهانی مواجه شده است. به عنوان نمونه سیلاب در محدوده دربند محور کندوان موجب خسارات زیادی شد به طوری که براین اساس گزارش های موجود شدت سیل در حدی بوده که موجب آبرُدگی تعدادی از خودروها در حالت توقف در این مسیر شده است. بررسی پیشینه تحقیق نشان داد که در اغلب مطالعات پیشین بعمل آمده عمدتاً از روش های چند معیاره تصمیم گیری یا روش های مدل هیدرولیکی برای پنهانه بندی و تهیه نقشه خطر وقوع سیل شده است. ثانیاً تحقیقی با موضوع تحقیق حاضر برای محور کندوان - چالوس تا حال انجام نشده است. لذا برای پنهانه بندی خطر وقوع سیلاب برای محدود مورد تحقیق از روش الگوریتم نوین جنگل تصادفی و سیستم اطلاعات جغرافیایی برای محور کندوان - چالوس استفاده شد.

موقعیت جغرافیایی منطقه

جاده چالوس، با نام رسمی جاده ۵۹، یکی از مهمترین جاده‌های دسترسی به شمال ایران برای مردم کرج و تهران است که از استان البرز آغاز می‌شود و شهر کرج و تهران را به چالوس در نزدیکی سواحل دریای خزر متصل می‌کند. این منطقه در مختصات جغرافیائی ۳۶ درجه و ۱۵ دقیقه تا ۳۶ درجه و ۴۵ دقیقه عرض شمالی و ۵۱ درجه و ۳۰ دقیقه طول شرقی، در بخش جنوب غرب استان مازندران قرار دارد. جاده چالوس از کرج در ارتفاع ۱۴۰۰ متری از سطح دریا به سوی شمال آغاز می‌شود و در مسیر در منطقه گچسر (۶۶ کیلومتری راه) به ارتفاع ۲۲۵۱ متر از سطح دریا می‌رسد. این محور ارتباطی مهم در نهایت در محدوده شهر چالوس در ارتفاع ۷۵ متری از سطح دریا به جلگه مازندران منتهی می‌شود. جاده چالوس از سمت شمال به شهرستان چالوس در استان مازندران، از شرق به تهران و شمیرانات، از غرب به منطقه طالقان و از جنوب به شهر کرج محدود می‌شود.

چون هدف اصلی تحقیق حاضر بررسی پتانسیل خطر وقوع سیلاب در محور کندوان چالوس می‌باشد، لذا به معرفی رودخانه‌های مهم این محور پرداخته شد. رودخانه نمک‌آبرود در غرب استان مازندران در شهرستان چالوس رواناب‌ها و آب‌های زیرزمینی کوه‌های تحت سلیمان و علم کوه البرز مرکزی در شهرستان کلاردشت سرچشمۀ می‌گیرد و به دریای خزر می‌ریزد. عمق این رودخانه بین ۵/۵ الی ۱/۷۵ متر متغیر است. مهمترین رودخانه جاده چالوس، معروف به رودخانه چالوس به طول حدود ۲۲ کیلومتر دارای جریانات شدید و سیلابی است. رودخانه چالوس یکی از طولانی‌ترین و بزرگترین رودخانه‌های است که از دامنه شمالی ارتفاعات طالقان و کندوان در استان البرز سرچشمۀ گرفته و در نهایت به دریای خزر می‌ریزد. رودخانه ارنگه نیز یکی دیگر از رودخانه‌های جاده چالوس که مقصد بسیاری از گردشگران بوده و در کیلومتر ۱۸ جاده چالوس و در نزدیکی روستای توریستی ارنگه واقع شده است. رودخانه شهرستانک نیز در محدوده مورد تحقیق جزو رودخانه‌های جاده چالوس است. این رودخانه در سراسر روستای شهرستانک جاری است و از چشمه‌ای به نام گله گیله سرچشمۀ می‌گیرد.



شکل(۱): موقعیت منطقه مورد مطالعه
Figure (1): The location of the study area

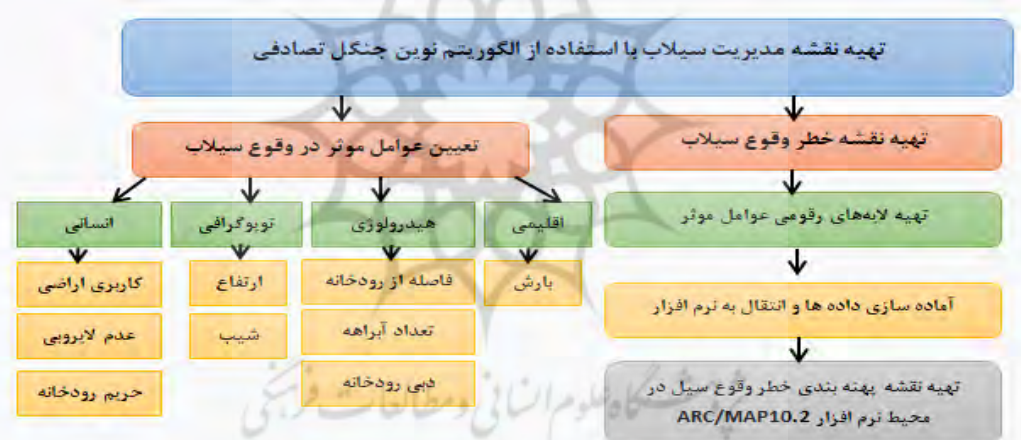
لذا با توجه به شرایط توپوگرافی منطقه مورد مطالعه و شبیه زیاد وجود رودخانه‌ها و مسیل‌های متعدد و از طرف دیگر عدم رعایت حدبستر و حریم رودخانه‌ها و ایجاد ساخت و سازها در بستر آن‌ها سبب شده است تا هر ساله در این منطقه سیلاب‌های مخربی رخ داده باشند.

مواد و روشها

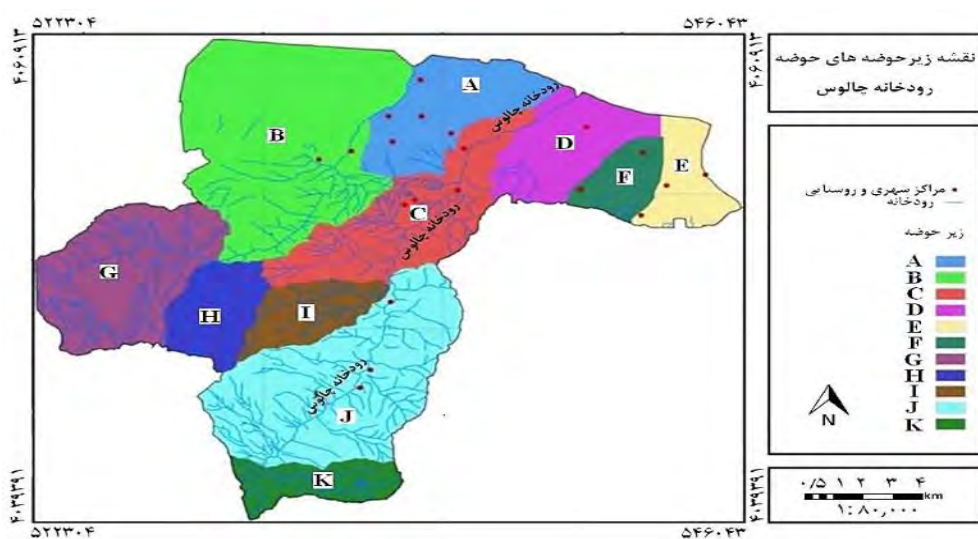
هدف اصلی تحقیق تعیین اولویت عوامل مؤثر در وقوع سیلاب و تهیه نقشه خطر وقوع سیلاب در جاده کرج - چالوس از محور کندوان تا چالوس است. برای انجام این تحقیق مواد و روش‌ها زیر استفاده شده است.

(الف) انتخاب شاخص‌های مؤثر و تهییه لایه‌های رقومی آن‌ها: در این مرحله باتوجه به مطالعات و پیشینه تحقیق ۹ شاخص کاربری- اراضی، فاصله از رودخانه، شب، ارتفاع، عدم رعایت حریم رودخانه، دبی رودخانه، آبراهه، بارش، و عدم لایروبی رودخانه انتخاب شدند.

(ب) اولویت‌بندی عوامل مؤثر در وقوع سیلاب: پس از تعیین عامل تورم واریانس و ضریب تحمل، در مرحله بعد با وارد کردن داده‌های مربوط به عوامل مؤثر به نرمافزار R، مدل سازی با استفاده از الگوریتم جنگل تصادفی انجام و نقش عوامل مؤثر در وقوع سیلاب در منطقه تعیین گردید(شکل ۲). روش جنگل تصادفی به جای رشد یک درخت، صدها یا هزاران درخت طبقه‌بندی تولید می‌شود(چن و همکاران، ۱۸: ۲۰۱۳۵). این الگوریتم را نخستین بار لئوبرایمن و آدل کاتلر ایجاد کردند و توسعه دادند. الگوریتم جنگل تصادفی مبتنی بر درستهای از درخت‌های تصمیم است(طالبی و همکاران، ۱۷: ۲۰۴۵). و در حال حاضر یکی از بهترین الگوریتم‌های یادگیری است(سلیمانی و همکاران، ۱۸: ۲۰۳۷).



شكل (٢): فلوچارت مراحل تحقیق



شکل(۳): حوضه آبخیز چالوس و زیرحوضه های آن

Figure (3): Chalus basin and its sub-basins

هر درخت به صورت زیر تشکیل می شود:

۱. اگر N تعداد حالتها در مجموعه داده‌های train (مجموعه کار) باشد، N حالت را به صورت تصادفی با جاگذاری از داده‌های اصلی، نمونه گیری می‌شود. این نمونه مجموعه کار برای این درخت است.
۲. اگر M متغیر داشته باشیم و m را کوچک‌تر از M در نظر گرفته می‌شود به طوری که در هر گره، m متغیر به صورت تصادفی از M انتخاب می‌شوند و بهترین جداسازی روی این m متغیر برای جداسازی گره استفاده می‌شود. لازم به ذکر است که مقدار m در طول ساخت جنگل ثابت در مدل نظر قرار می‌گیرد.
۳. هر درخت به اندازه ممکن بزرگ می‌شود. هیچ هرسی وجود ندارد. کاهش m هم همبستگی و هم قدرت را کاهش می‌دهد و افزایش آن هم سبب افزایش هردو می‌شود. کار ساخت جنگل با استفاده از درخت‌ها اغلب اوقات به روش کیسه‌گذاری انجام می‌شود. ایده اصلی روش کیسه‌گذاری آن است که ترکیبی از مدل‌های یادگیری، نتایج پیش‌بینی‌های صحیح‌تر و پایدارتری حاصل شوند. در این روش بردار تصادفی Θ^k که مستقل از بردارهای تصادفی $\Theta^1, \dots, \Theta^{k-1}$ بوده، برای درخت K ام تولید می‌شود. همچنین همه بردارها دارای توزیع یکسانی هستند. درخت رگرسیونی با استفاده از مجموعه داده‌های آموزش و Θ^k رشد می‌کند و نتیجه جموعه درخت‌های K برابر، $\{x_1, x_2, \dots, x_n\}$ است. که در اینجا $x_i = \{x_{i1}, x_{i2}, \dots, x_{ip}\}$ است. این بردارها یک بردار ورودی P بعدی هستند که یک جنگل را تشکیل می‌دهند. خروجی‌های K تولید شده گروهی، مربوط به هر درخت برابر $\{y_1, y_2, \dots, y_n\}$ که $y_i = h(x_i)$ می‌شود. برای به دست آوردن خروجی نهایی، متوسط همه پیش‌بینی‌های درخت‌ها محاسبه می‌شود. خطای پیش‌بینی‌های درخت‌ها محاسبه می‌شود. خطای پیش‌بینی نیز بر اساس نمونه‌های خارج از کیسه طبق فرمول ۱ محاسبه شد.

$$MSE = \frac{1}{n} \sum_{i=1}^n [\hat{y}(x_i) - y_i]^2 \quad (1)$$

در رابطه فوق ($y = \sum_{i=1}^n y_i$) نتایج محاسباتی، y_i نتایج مشاهداتی، n تعداد کل مشاهدات است و MSE میزان خطای بین مقادیر مشاهداتی و محاسباتی را نشان می‌دهد. روش جنگل تصادفی برای طبقه‌بندی و اولویت‌بندی به طور خلاصه بدین صورت است که: در ابتدا T نمونه خودرا انداز از داده آموزشی بیرون کشیده می‌شود و سپس از هر نمونه خودرا انداز β یک درخت طبقه‌بندی و رگرسیون هرس نشده ایجاد می‌شود که برای انشعاب در هر گروه رگرسیون، تنها یکی از M ویژگی انتخاب شده به صورت تصادفی استفاده می‌شود. در نهایت، خروجی طبقه‌بندی بر اساس یک نتیجه میانگین از پیش‌بینی‌های تمام درخت‌های منفرد آموزش‌دیده، به دست می‌آید. (چن و همکاران، ۱۳۵:۲۰۱۸).

(ج) تهیه نقشه خطر وقوع سیلاب: نقشه خطر وقوع سیلاب نیز بر اساس روش جنگل تصادفی تهیه گردید. پس از وزن‌دهی هر یک از شاخص‌ها در نرم‌افزار R، وزن آن‌ها به محیط ARC/MAP 10.2 منتقل شد و وزن‌ها بروی هر یک از لایه‌های رقومی اعمال شد و در نهایت نقشه پهن‌بندی خطر وقوع سیلاب در سه پهنه کم خطر، با خطر متوسط، خیلی خطرناک(خطر زیاد) تهیه شد.

بحث و یافته‌ها

در ابتدا به منظور بررسی همخطی بین متغیرها از دو شاخص عامل تورم واریانس و ضریب تحمل استفاده شد. ضریب تحمل کمتر از ۰/۲ یا ۰/۱ و عامل تورم واریانس ۵ یا بزرگ‌تر از مقدار مذکور نمایانگر هم خطی‌بودن و ارتباط زیاد بین دو متغیر است. جدول (۱) بررسی همخطی بین عوامل مؤثر بر وقوع سیلاب در منطقه مورد مطالعه را نشان می‌دهد. بدین ترتیب با توجه به نتایج بدست‌آمده ضریب تحمل در هیچ‌کدام از شاخص‌ها کمتر از ۰/۲ یا ۰/۱ و عامل تورم واریانس نیز در هیچ یک از شاخص‌ها ۵ یا بزرگ‌تر نمی‌باشد؛ لذا بین شاخص‌های مورداستفاده هیچ‌گونه همخطی وجود ندارد که بیانگر ارتباط زیاد بین متغیرها است.

جدول (۱): بررسی همخطی بین عوامل مؤثر بر وقوع سیلاب منطقه مورد مطالعه

Table (1): Investigating the Colinearity between the Factors Affecting the Occurrence of Floods in the Study Area

شاخص	عامل تورم واریانس(VIF)	ضریب تحمل (Tolerance)
بارش(میلی‌متر)	۱/۱۱۱	۰/۱۲۱
ارتفاع(متر)	۱/۲۳۰	۰/۳۴۲
فاصله از رودخانه(متر)	۱/۵۳۱	۰/۶۵۴
عدم رعایت حریم روانه	۴/۳۵۶	۰/۸۹۷
کاربری اراضی	۲/۳۸۹	۰/۸۶۵
شیب(درصد)	۲/۱۱۱	۰/۴۵۶
دبی رودخانه	۲/۳۲	۰/۴۳۲
تعداد آبراهه	۱/۲۷۶	۰/۳۲۴
عدم لایروبی رودخانه	۳/۴۳۲	۰/۴۳۲

در مرحله بعد با وارد کردن داده‌های مربوط به عوامل مؤثر به نرم‌افزار R، مدل سازی با استفاده از الگوریتم جنگل تصادفی انجام و نقش عوامل مؤثر در وقوع سیلاب تعیین شد. بدین منظور از دو عامل میانگین کاهش دقت و میانگین کاهشی جینی همان‌طور که پیش‌تر ذکر شد، برای تعیین اولویت هر یک از عوامل مؤثر در وقوع سیلاب استفاده شده است.

جدول (۳) میزان اهمیت عوامل مؤثر سیلاب بر اساس دو معیار میانگین کاهش دقت و میانگین کاهشی جینی در را نشان می‌دهد. همان‌طور که مشخص است هر چه میانگین کاهشی دقت بیشتر باشد میانگین کاهش جینی هم‌افزایش می‌یابد. بدین ترتیب مهم‌ترین عامل در وقوع سیلاب در منطقه بارش با میانگین کاهشی دقت برابر با ۰/۱۸ و میانگین کاهشی جینی ۵/۶۴ است. در طی سال‌های اخیر حجم بارش‌های ناگهانی در منطقه افزایش داشته است، همین مسئله سبب افزایش دبی آب شده است. این بارش‌ها در طی سال‌های

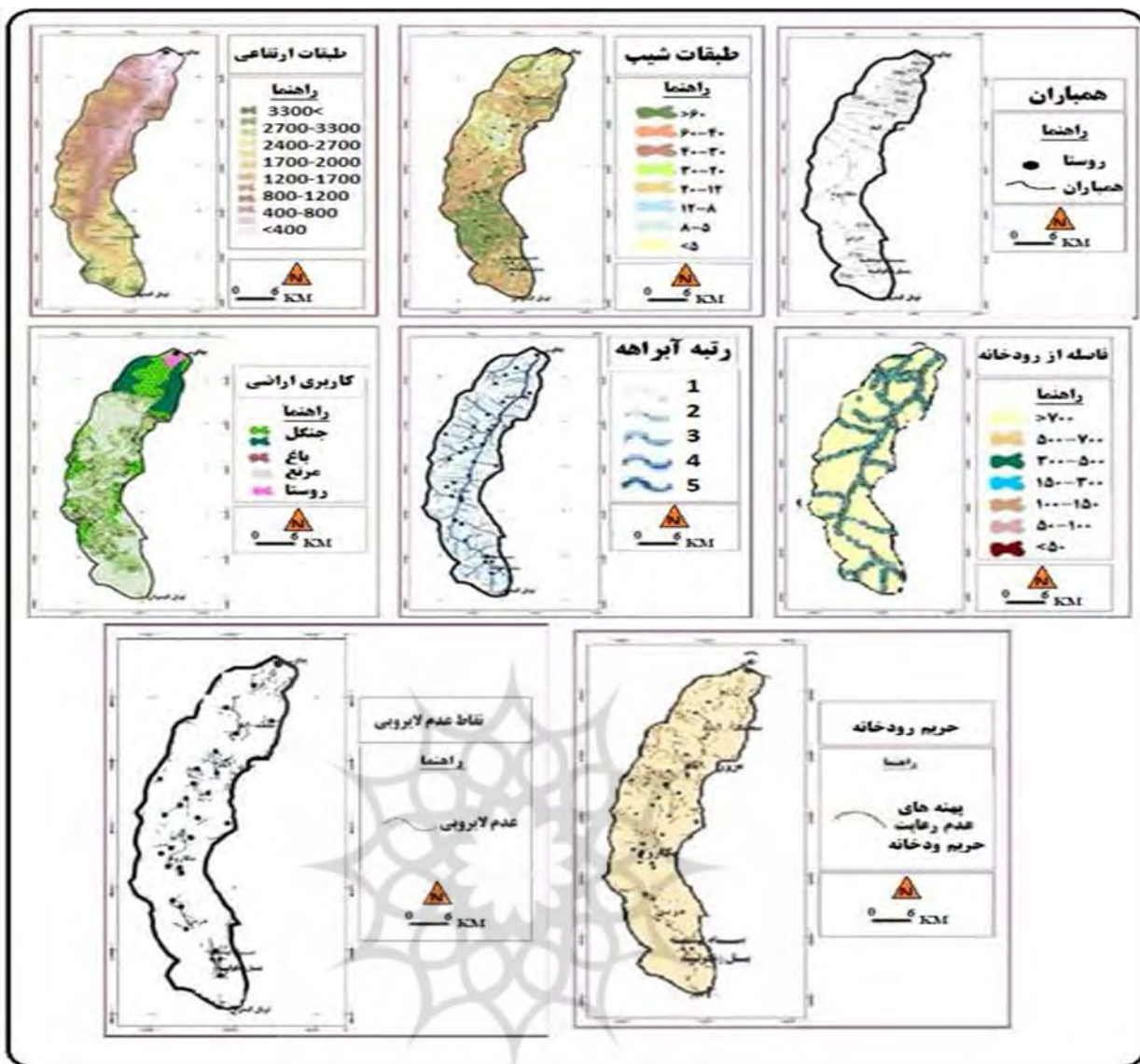
اخير به صورت ناگهانی، شدید و کوتاه‌مدت و سیلابزا هستند. دومین عامل در منطقه عدم لایروبی رودخانه با میانگین کاهشی دقت برابر با ۱۹/۵۶ و میانگین کاهشی جینی ۴/۸۹ است. شکل (۴): تصاویری از عدم لایروبی و ربختن نخلهای ساختمانی به رودخانه‌ها در منطقه مجاور جاده چالوس را نشان می‌دهد. جدول (۲) و نقشه‌های زیر معیار یا لایه‌های اطلاعاتی عوامل موثر در پتانسیل وقوع سیلاب در شکل (۵) نشان داده شده است.



شکل (۴): تصاویری از عدم لایروبی رودخانه‌ها در چالوس

Figure (4): Pictures of the lack of dredging of rivers in Chalus

پژوهشگاه علوم انسانی و مطالعات فرهنگی
پرتال جامع علوم انسانی



شکل (۵): نقشه لایه‌های مورد مطالعه

Figure (5): Map of studied layers

جدول (۲): دبی حداکثر سالانه ایستگاه های هیدرومتری با دوره های برگشت(T) بر حسب متر مکعب بر ثانیه

Table (2): Maximum annual discharge of hydrometric stations with return periods (T) in cubic meters per second

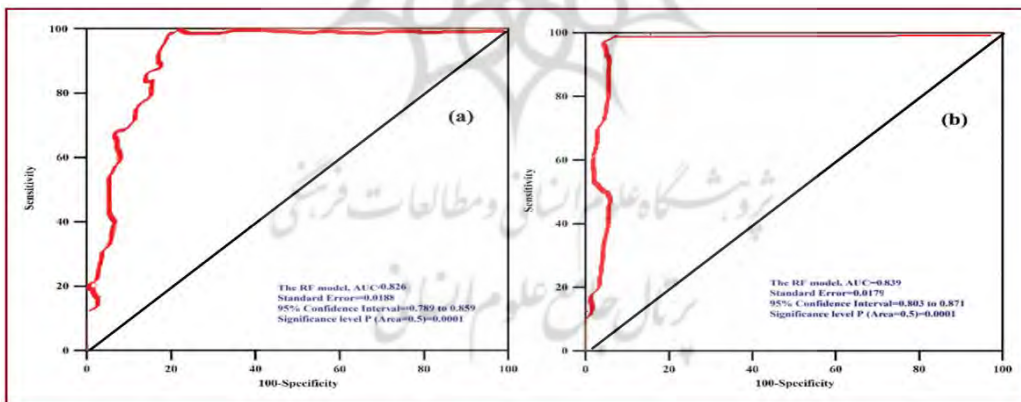
QT ₂₀₀	QT ₁₀₀	QT ₅₀	QT ₂₅	QT ₁₀	QT ₅	QT ₃	QT ₂	نام ایستگاه(زیر حوضه)
۱۸۰/۷۸	۱۳۳/۶۹	۹۷/۸۹	۷۰/۲۲	۴۴/۶۲	۳۰/۳۱	۲۱/۹۴	۱۶/۲	ولی آباد(کندوان - دونا - الیکا)
۱۵۳/۵۲	۱۳۴/۶۱	۱۱۷/۱۴	۱۰۰/۹۱	۸۱/۰۱	۶۶/۷۲	۵۶/۲۶	۴۷/۵۱	آبشار(الیت - دلیر)
۴۰/۰۹	۳۵/۸۷	۳۱/۴۸	۲۷/۱۹	۲۱/۴۸	۱۷/۰۴	۱۳/۶۱	۱۰/۶۵	هنیسک(کجور)
۴۰۰/۹۸	۳۲۴/۵	۲۶۰/۰۷	۲۰۵/۸	۱۴۸/۷۴	۱۰۹/۶۴	۸۵/۳۶	۶۵/۷۳	پل ذغال(پرآردود)

جدول (۳): میزان اهمیت عوامل موثر سیلاب براساس دو معیار میانگین کاهش دقت و میانگین کاهشی جینی

Table (3): The Importance of Flood Effective Factors Based on Two Criteria of Mean Accuracy Reduction and Gini Mean Reduction

میانگین کاهش جینی	میانگین کاهشی دقت	شاخص
۵/۶۴	۲۰/۱۸	بارش(میلی‌متر)
۲/۳۵	۹/۴۴	ارتفاع(متر)
۳/۰۴	۱۲/۰۹	فاصله از رودخانه(متر)
۴/۵۲	۱۸/۱۸	عدم رعایت حریم رودخانه
۳/۳۲	۱۵/۳۱	کاربری اراضی
۳/۷۸	۱۷/۲۸	شیب(درصد)
۳/۱۴	۱۲/۲۱	دبي رودخانه
۲/۷۱	۱۱/۱۱	تعداد آبراهه
۴/۸۹	۱۹/۵۶	عدم لایروبی رودخانه

به منظور ارزیابی مدل تهیه شده، همان‌طور که پیش‌تر ذکر شد از منحنی تشخیص عملکرد نسبی (ROC) استفاده گردید. در ارزیابی منحنی راک هر چه سطح زیر منحنی بیشتر باشد دقت مدل بیشتر است که میزان آن بین $0/0$ تا 1 متغیر است. به‌طور کلی تقسیم‌بندی $0/0$ - $1/9$ عالی، $1/9$ - $0/8$ خیلی خوب، $0/8$ - $0/7$ خوب، $0/7$ - $0/6$ متوسط و $0/6$ - $0/5$ ضعیف را برای آن ارائه کرده‌اند. برای رسم منحنی راک الگوریتم جنگل تصادفی قبل از کلاسه‌بندی نقشه وزن نهایی، نقاط مهم وقوع سیل مانند کجور، مرزن آباد، نکارود را که برای ارزیابی در نظر گرفته شده روی نقشه انداخته و وزنی که در هر نقطه به‌دست‌آمده را یادداشت کرده (کد ۱) و به همین تعداد نیز نقاطی به صورت تصادفی در مناطق دیگر انتخاب و وزن آن‌ها نیز یادداشت می‌شود (کد صفر). سپس وزن‌های به‌دست‌آمده آن را وارد نرم‌افزار آماری R می‌گردد و با استفاده از کد نوشته شده سطح زیر منحنی که نشان‌دهنده دقت مدل است به دست می‌آید.



شکل (۶): منحنی راک و سطح زیر منحنی نقشه پهنه‌بندی حساسیت سیلاب (a) نقاط آموزشی، (b) نقاط ارزیابی

Figure (6): Rock Curve and Area Under Curve Flood Sensitivity Zoning Map (a) Training Points, (b) Assessment Points

شکل (۶) منحنی راک و سطح زیر منحنی نقشه پهنه‌بندی خطر وقوع سیلاب در محدوده محور کندوان- چالوس را بر اساس نقاط آموزشی و نقاط ارزیابی نشان می‌دهد. نقاط آموزشی شامل ۴۵ محدوده می‌شود که به بر اساس تعداد سیلاب رخداده انتخاب شده‌اند. بر اساس نتایج منحنی راک، مقدار سطح زیر منحنی در نقاط آموزشی برابر با $0/826$ است که این مسئله بیانگر این است که ارزیابی خیلی خوب را در برگرفته است. منحنی راک در نقاط ارزیابی برابر با $0/832$ درصد برآورد شده است که ارزیابی خیلی خوب الگوریتم جنگل تصادفی در پهنه‌بندی خطر وقوع سیلاب با استفاده از این مدل است.

پس مشخص شدن وزن هر یک از عوامل در محیط نرم افزار R، این وزن ها در محیط ARC/MAP10.2 منتقل، و بروی لایه های موردنظر اعمال گردید. این وزن ها بین صفر و یک است. ستون صفر به معنای مقادیر پهنه های غیر سیلابی برای هر پیکسل و ستون

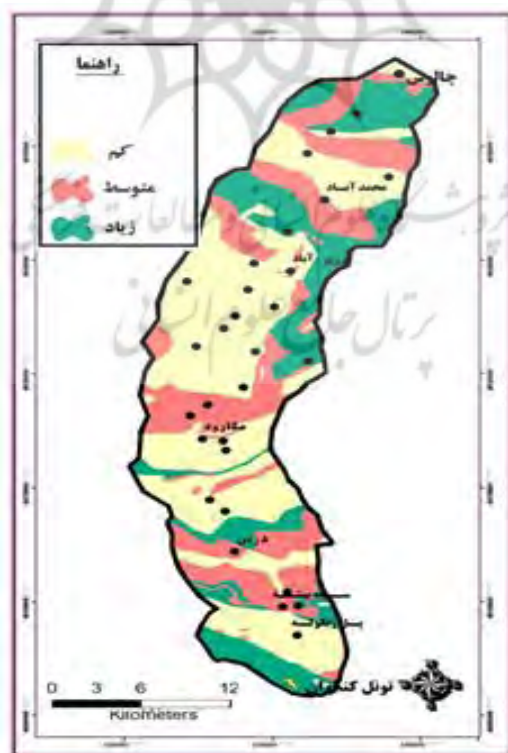
یک بیانگر مقادیر پهنه های سیلاب برای هر پیکسل از کل منطقه مورد مطالعه است. بهمنظور پهنه بندی حساسیت سیلاب، ستون پیکسل های صفر حذف شده و مقادیر ستون یک بر اساس مختصات هر یک از پیکسل ها در محیط ARC/MAP در قالب یک فایل نقطه ای درآمده و سپس از مسیر تبدیل نقطه به رستر، نقشه های وزنی با هم جمع شده و نقشه نهایی به دست می آید بر اساس نقاط شکست منحنی تجمعی، نقشه به سه طبقه حساسیت کم، متوسط و زیاد تقسیم شده و نقشه پهنه بندی خطر وقوع سیلاب در منطقه موردمطالعه به دست آمد.

جدول (۴): تعداد پیکسل و درصد پهنه های خطر وقوع سیل در محور کندوان - چالوس

(Table 4) Number of Pixels and Percentage of Flood Risk Zones on Kandovan-Chalous Axis

درصد	تعداد پیکسل	شاخص
۶۳/۴	۲۶۱/۴۳	کم خطر
۲۰	۱۵۱/۱	با خطر متوسط
۱۶/۶	۱۱۸/۳	خطرناک

باتوجه به نتایج به دست آمده از جدول (۴) بیشترین مساحت منطقه را پهنه کم خطر (۳۱/۶ درصد) دربرگرفته است. بعد از آن پهنه خیلی خطرناک در حدود ۲۸/۴ درصد از مساحت منطقه را دربرگرفته است. شکل شماره (۷) نقشه پهنه بندی خطر وقوع سیلاب بر اساس الگوریتم جنگل تصادفی در محور کندوان - چالوس در ۳ پهنه کم خطر، با خطر متوسط، با خطر زیاد را نشان می دهد. بر اساس نقشه استعداد وقوع سیل منطقه در حدود ۲۶۱/۴۳ کیلومترمربع منطقه جزء مناطق کم خطر ۱۵۱/۱ کیلومترمربع جزء مناطق با خطر متوسط و در حدود ۱۱۸/۳ کیلومترمربع جزء مناطق پر خطر محسوب می شوند.



شکل (۷): نقشه پهنه بندی خطر وقوع سیلاب براساس الگوریتم جنگل تصادفی در محور کندوان - چالوس
Figure (7): Flood Risk Zoning Map Based on Random Forest Algorithm in Kandovan-Chalous Axis

نتیجه‌گیری

این پژوهش به منظور تعیین اولویت عوامل مؤثر در بروز سیلاب با استفاده از الگوریتم نوین جنگل تصادفی به منظور مدیریت سیلاب انجام شده است. در محدوده مورد منطقه، نتایج بررسی نشان داد که ویژگی‌های زمین‌شناسی و توپوگرافی، بارش و دخالت انسان‌ها، محور کندوان-چالوس را برای پتانسیل خطر وقوع سیل مستعد کرده است. علاوه بر عوامل طبیعی؛ عدم لایروبی، نبود آبخیزداری مناسب و تصرف انسانی منجر به تشدید مخاطرات حاصل از سیلاب شده است.

بر اساس نقشه استعداد وقوع سیل در حدود ۲۶۱/۴۳ کیلومترمربع از منطقه مورد تحقیق جزء مناطق کم خطر ۱۵۱/۱ کیلومترمربع جزء مناطق با خطر متوسط و در حدود ۱۱۸/۳ کیلومترمربع جزء مناطق پر خطر محسوب می‌شوند. شواهد میدانی نشان از این دارد که ویژگی‌های ذاتی واحد سنگی زمین‌شناسی در خصوص فرسایش‌پذیری بالا طی زمان‌های طولانی خشکسالی منجر به انباستح حجم بسیار زیادی از بار رسوی در حوضه شده است. واحد زمین‌شناسی در برگیرنده بخشی از معبّر پنج سازند کرج است که بیشتر از شیل و سیلت سنگ‌های نرم فرسایشی با رس بالا و مقداری توف‌های خرد شده متأثر از درزه و شکاف‌ها تشکیل شده است. از طرفی دیگر، همسو بودن شبکه‌های لایه‌بندی و توپوگرافی منجر به افزایش رخنمون سطحی این واحدهای نرم فرسا در بستر حوضه و افزایش سطح در معرض فرسایش و هوازدگی در پی آن شده است؛ بنابراین در زمان رخداد سیل ناگهانی با شدت بارش زیاد در یک‌زمان کم و تحریک دامنه‌های ناپایدار، حجم انبوی از رسوبات انباستشده به حرکت درآمده و ایجاد جریان‌های خردکار با بار رسوی بالا را در پی داشته است. این گونه سیلاب‌ها به دلیل بار رسوی بالا فراتر از بستر اصلی رودخانه رخ می‌دهند و خسارت‌های بیشتری به همراه دارند. ویژگی‌های بالا در بیشتر زیرحوضه‌های کوچک مشرف به جاده چالوس و روستاهای آن منطقه، عمومیت دارد. در شکل (۷) نقشه پهنه‌بندی خطر وقوع سیلاب بر اساس الگوریتم جنگل تصادفی در محور کندوان-چالوس در ۳ پهنه کم خطر، با خطر متوسط، با خطر زیاد را نشان داده شد. طبق نتایج تحقیق حاضر (۳۱/۶ درصد) از مساحت منطقه در محدوده پهنه کم خطر، ۲۰ درصد در درمحدوده با خطر متوسط و ۲۸/۴ درصد از مساحت منطقه در محدوده با خطر زیاد قرار گرفته است. یافته‌های پژوهش حاضر با نتایج محققینی از جمله رحیم پور و همکاران، ۲۰۰۳: ۱)، در خصوص مدل سازی حساسیت خطر وقوع سیل در حوضه آبریز‌الندچای واقع در شهرستان خوی بر پایه یک رویکرد نوین (FURIA-GA-LogitBoot) مطابقت دارد. محققین مذکور در تحقیق خود ضمن تهیه نقشه نهایی خطر وقوع سیل اشاره نمودند، مدل به کار گرفته در تحقیق به ترتیب با ضرایب ۰/۸۶۱ و ۰/۸۹۵. از نظر داده‌های آموزشی و اعتبار سنجی از عملکرد خوبی در تهیه نقشه حساسیت خطر وقوع سیل برخوردار بوده است نتایج بدست آمده از پژوهش حاضر نیز بیانگر تأیید نتایج این محققین است.

References

- Abdelkarim, A & Gaber, A.F.D. (2019). Flood risk assessment of the Wadi Nu'man basin, Mecca, Saudi Arabia (during the period, 1988–2019) based on the integration of geomatics and hydraulic modeling: a case study, Water11(9): pp.1887. (In Persian)
- Abedini, M., Faal Naziri, M., Piroozi, Elnaz. (2023). Flood risk assessment and zoning using multi-criteria ARAs and unit hydrograph techniques. Case study: upstream basin of Hydrometer Station Pol Sultan Meshkinshahr. Journal of Natural Environmental Hazards, 12 (35): pp. 115-137. (In Persian)
- Abedini, M., Piroozi, E., Aghayari, L. (2022), Zoning of flood risk in the Razi Chay watershed using the VIKOR model, Crisis Management, No. 22: pp. 186-197. (In Persian)
- Abedini, M., Sabouri, H and Pasban, A.H. (2015). Zoning of flood risk and its relationship with land use using the network analysis process model (Case study: Razichai watershed, Ardabil province). Quarterly Journal of Sustainable Urban and Regional Development Studies, 6(2): pp.68-84. (In Persian)
- Avand, M., Janizadeh, S., & Jaafari, F. (2018). Evaluating the efficiency of machine learning models in preparing a possible flood risk map, Journal of Natural Lands Destruction and Restoration, 1(1): pp.1-32 (In Persian)
- Beheshti, M., Feiznia, S & Ahmadi, H. (2009). Investigation of Landslide Zoning Efficiency of Safety Factor: A Case Study of Moallem Kalayeh Watershed, Physical Geography Quarterly2 (5): pp. 20-32. (In Persian)

- Chen, W., Xiaoshen, X., Jianbing, P., Himan, Sh., Haoyuan, H; Dieu, T. B., Zhao, D., Shaojun, L., & A-Xing, Z. (2018). GIS-based landslide susceptibility evaluation using a novel hybrid integration approach of bivariate statistical based random forest method, Journal Catena, No 164: PP.135–149.
- Chen, W., Li, Y., Xue,W.,Shahabi,H.,Li,S.,Hong, H.,& Ahmad, B.B.(2020). Modeling Flood Susceptibility Using Data Driven Approaches of Naïve Bayes tree, Alternating Decision Tree, and Random Forest Methods.Science of The Total Environment ,701: pp.134979.
- Demisi, Z., imal, P., Seyoum M.W., Dutta, A.& Rimmington, G. (2024). Flood susceptibility mapping: integrating machine learning and GIS for enhanced risk assessment, Applied Computing and Geosciences,23 pp. 100183.
- Ebrahimi, L. (2020). Preparation of Flood Hazards Management Map Using a New Random Forest Algorithm (Case Study: Lavasanat Watershed), Natural Hazards,7(2), Summer: pp.188-196.
- Ebadati, B., Attarzadeh, R, Alikhani, M., Youssefi, F., Pirasteh, S. (2024). Efficient Flood Detection through Hybrid Machine Learning and Metaheuristic Methods using Sentinel-1, Int. Arch. Photogramm. Remote Sens. Spatial Inf. Sci., XLVIII-3/W3: pp.35–43. (In Persian)
- Esmaeili, R; Nourizadeh Nashli, N. (2024). Evaluation of morphological changes in the Haraz River due to human pressures in the area of Amol city, Mazandaran. Hydrogeomorphology, Volume 11, Number 40: pp. 43-57. (In Persian)
- Fenia, F., Kavetski, D., Savenije, H.H. G., Clark, M. P., Schoups, G., Pfister, L., & Freer, J. (2014). Catchment properties, function, and conceptual model representation: Is there a correspondence? Hydrological Processes, 28(4): pp. 2451-2467.
- Hagen, E.J.F., Shrodr Jr., Lu, John, X.X., & Teufert, F. (2010). Reverse engineered flood hazard mapping in fghanistan: A parsimonious flood map model for developing Countries.Quaternary International: PP. 1-10.
- Huang, Y., Bardossy, A., & Zhang, K. (2019). Sensitivity of hydrological models to temporal and spatial resolutions of rainfall data, Hydrol. Earth Syst. Sci. 23: PP.2647–2663.
- Islaminejad, S.A., Aftakhari, M., Akbari, M., Haji Elias, A. & Farhadian, Hadi. (2021). Prediction of flood prone areas using advanced machine learning models (Dasht Birjand), Journal of Water Resources and Irrigation Management 11(4): pp. 885-904. (In Persian)
- Kakavand, M; Haghzadeh, A; Seimani Motlagh, M. (2024). Natural Environment Hazards, Volume 13 - Issue 40: pp.59 – 41.
- Kazemi, H., Mansouri, N., & Jozi, S. A. (2022). Flood Risk Zoning in Nowshahr City Using Machine Learning Models.JHRE,40(176): pp.71-86. (In Persian)
- Khodai, A., & Zandi, R. (2022). Zoning of flood risk based on multi-criteria decision making and neural network model, case study: Khodaafarin watershed, Watershed Engineering and Management, 14(4): pp. 562-549. (In Persian)
- Liu, M., Chen, N., Zhang, Y., & Deng, M. (2020). Glacial Lake inventory and lake outburst flood/debris flow hazard assessment after the Gorkha earthquake in the Bhote Koshi basin, Water 12: pp. 464.
- Milanesi, L., M. Pilotti & R. Ranzi.(2015). A conceptual model of people's vulnerability to floods. Water Resources Research, 51(1): pp. 182-197
- Mugagga F., Kakembo, V., & Buyinza, M. (2012). Land use changes on the slopes of Mount Elgon and the implications for the occurrence of landslides. Catena 90: pp.39–46.
- Parvin, M. (2018). Evaluation and Zoning of Flash Flood Risk Based on MFFPI Model (Case Study: West Islamabad Basin), Journal of Environmental Hazards (Former Risk Knowledge), 6(2): pp. 169-184. (In Persian)
- Pregnolato, M., Ford, A., Wilkinson, S.M., & Dawson, R.J. (2017). The impact of flooding on road transport: a depth-disruption function, Transp. Res. D Transp. Environ. 55: pp.67–81.
- Rahimpour, T., Rezaei Moghadam, M. H., Hijazi, S.A., & Valizadeh Kamran, K. (2023). Flood Susceptibility Modeling in the Aland Chai Basin based on a new ensemble classification approach (FURIA-GA-LogitBoost). Journal of Geography and Environmental Hazards, 12(1): pp.1-24. (In Persian)

- Rezaei Moghaddam, M. H., Yasi, M., Nikjoo, M. R., & Rahimi, M. (2018). Zoning and Morphological Analysis of Gharesou River Flood Using HEC-RAS Hydrodynamic Model (From Pirazmian Village to Aharchay River Confluence). *Journal of Geography and Environmental Hazards*, 7(25): PP.1-15. (In Persian)
- Soleimani, K., Ali Dadganfard, F., & Pourqasmi, H. (2018). Comparison of Shannon Entropy Data Mining Techniques and Random Forest Algorithm in Preparing Jahrom Groundwater Potential Map", *Journal of Desert Ecosystem Engineering*, 8(24): pp.37-48. (In Persian)
- Talebi, A; Godarzi, S., & Pourqasmi, H. (2017). Evaluation of the possibility of preparing a landslide risk map using random forest algorithm (study area: Sardar Abad watershed, Lorestan province), *Journal of Natural Environment Hazards*, 7 (16): pp.45-64. (In Persian)
- Valizadeh Kamran, Kh.(2007). Application of GIS in flood risk zoning. *Journal of Geographical Space*, 20: pp.170-153. (In Persian)
- Yousefi, H., Younisi, H., Davoudi, D., Arshiya, Azadeh, & Shamsi, Z. (2021). Determining flood potential using CART, GLM and GAM machine learning models (case study, Kashkan Basin) *Journal Scientific and research journal of irrigation and water engineering in Iran*, 12(4): pp.84-105. (In Persian)
- Wang, Y., Fang, Z., Hong, H., & Peng, L. (2022). Flood Susceptibility Mapping Using Convolution Neural Network Frameworks. *Jornal of Clinical Epidemiology*, 63(8): pp.826-833.

